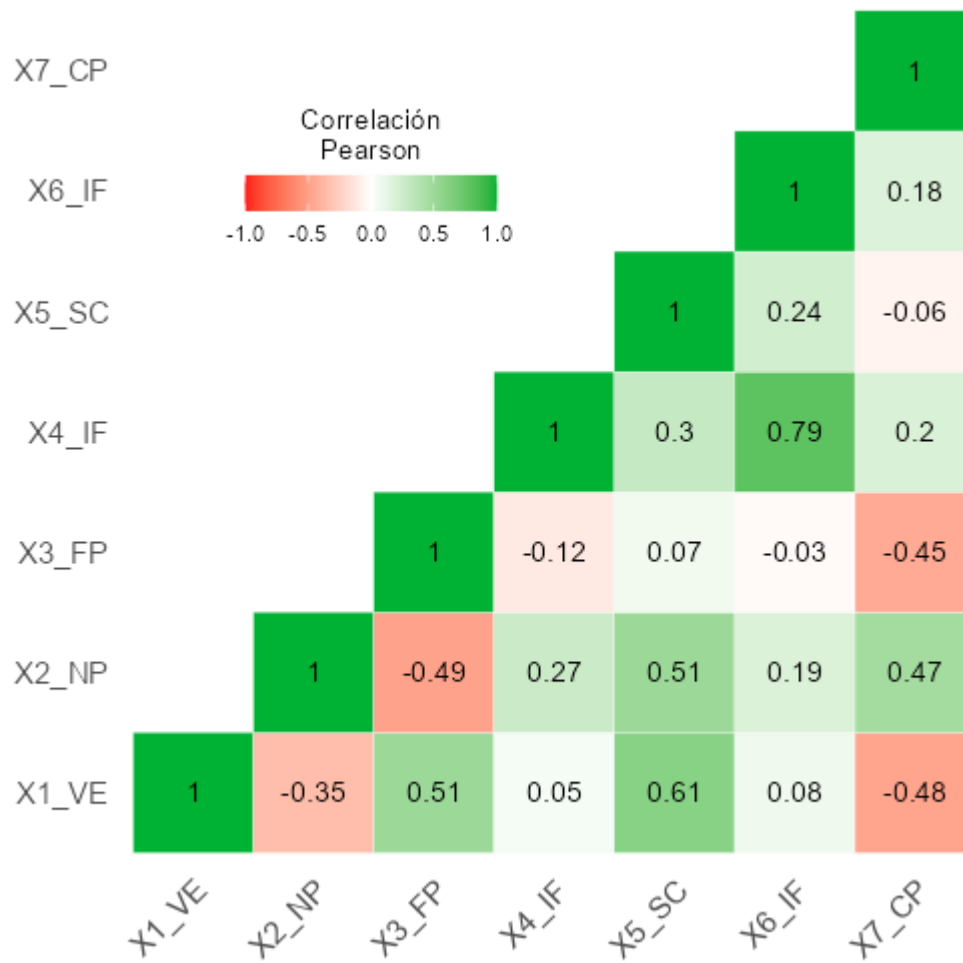


ROTACIONES

MELISSA ORTEGA GALARZA

Mapa de calor de Correlación



Se observa el comportamiento de las variables y la correlación que tienen. Sin embargo, la correlación mínima negativa de la variable X4_IF con X3_FP, además, se observa una correlación con gran significancia en la variable X6_IF con X4_IF.

Análisis de Componentes Principales

Cargas de los Componentes

	Componente		Unicidad
	1	2	
X1_VE	-0.627	0.515	0.342
X2_NP	0.759		0.420
X3_FP	-0.730	0.336	0.355
X4_IF	0.494	0.798	0.119
X6_IF	0.425	0.832	0.128
X7_CP	0.766		0.385

Nota. Se utilizó la rotación 'ninguno'

Las variables con mejor carga en sus componentes son: 1, 3, 4, 6

Estadísticas de los Componentes

Correlaciones Entre Componentes

	1	2
1	—	0.00
2		—

Al parecer no existe correlación.

Comprobaciones de Supuestos

Prueba de Esfericidad de Bartlett

χ^2	gl	p
206	15	< .001

Los supuestos se cumplen por su p-valor de < 0.001

Se observa que la variable X2_NP su MSA es la que tiene más valor a diferencia de las otras variables. Sin embargo, los supuestos se cumplen.

Medida de Idoneidad del
Muestreo KMO

	MSA
Global	0.665
X1_VE	0.721
X2_NP	0.788
X3_FP	0.748
X4_IF	0.542
X6_IF	0.532
X7_CP	0.779

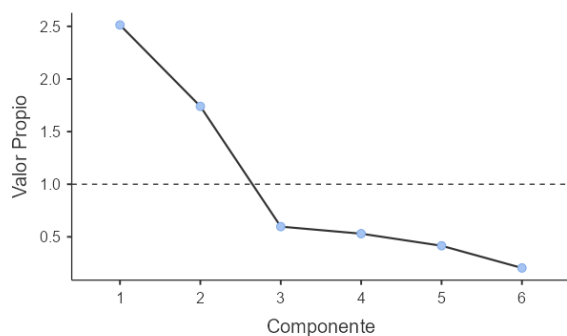
Valores Propios

Valores Propios Iniciales

Componente	Valor Propio	% de la Varianza	% Acumulado
1	2.513	41.89	41.9
2	1.740	29.00	70.9
3	0.597	9.95	80.8
4	0.530	8.84	89.7
5	0.415	6.92	96.6
6	0.204	3.40	100.0

El componente 1 tiene mayor valor propio y % de la varianza, sin embargo, el componente 6 tiene un 100% acumulado. En la grafica se observan 2 componentes arriba de 1.

Gráfica de Sedimentación



Análisis de Componentes Principales

Cargas de los Componentes

	Componente		Unicidad
	1	2	
X1_VE	-0.788		0.342
X2_NP	0.714		0.420
X3_FP	-0.803		0.355
X4_IF		0.933	0.119
X6_IF		0.934	0.128
X7_CP	0.764		0.385

Nota. Se utilizó la rotación 'varimax'

Las variables con mejor carga en sus componentes son: 4 y 6

Estadísticas de los Componentes

Resumen

Componente	SC Cargas	% de la Varianza	% Acumulado
1	2.37	39.5	39.5
2	1.88	31.4	70.9

Al parecer no existe correlación.

Correlaciones Entre Componentes

	1	2
1	—	0.00
2		—

Comprobaciones de Supuestos

Prueba de Esfericidad de Bartlett

χ^2	gl	p
206	15	< .001

Los supuestos se cumplen por su p-valor de < 0.001

Las comprobaciones de los supuestos en las variables X1_VE, X2_NP, X3_FP, Y X7_CP se encuentran arriba de 0.5, mientras que X4_IF y X6_IF su MSA se encuentran en 0.5

Medida de Idoneidad del Muestreo KMO

MSA	
Global	0.665
X1_VE	0.721
X2_NP	0.788
X3_FP	0.748
X4_IF	0.542
X6_IF	0.532
X7_CP	0.779

Valores Propios

Valores Propios Iniciales

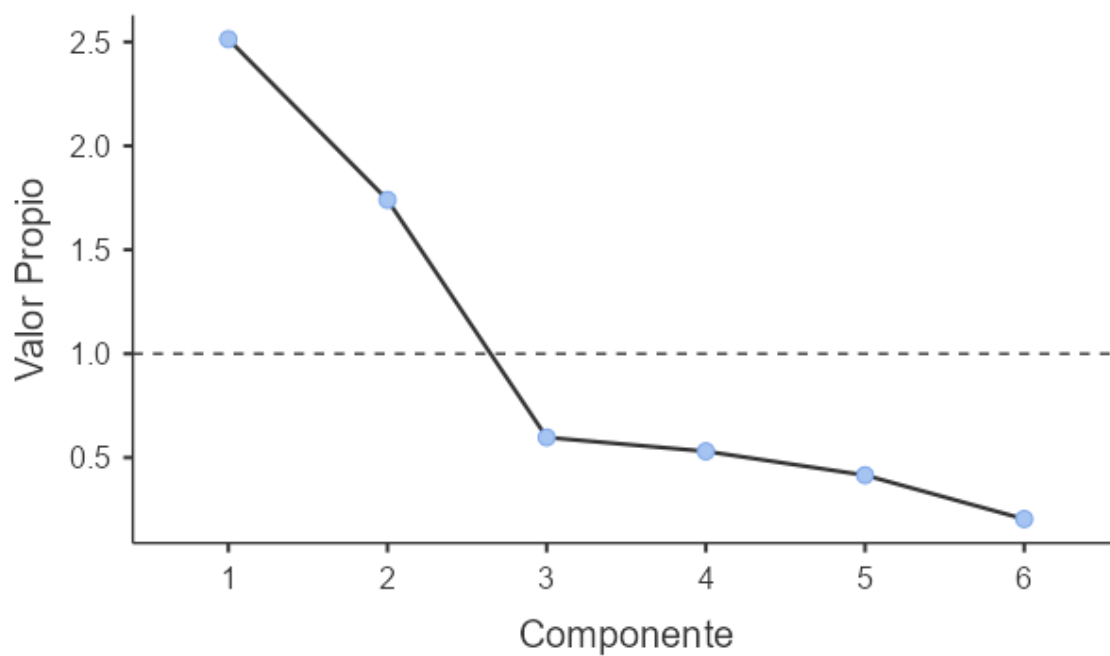
Componente	Valor Propio	% de la Varianza	% Acumulado
1	2.513	41.89	41.9
2	1.740	29.00	70.9
3	0.597	9.95	80.8
4	0.530	8.84	89.7
5	0.415	6.92	96.6

Valores Propios Iniciales

Componente	Valor Propio	% de la Varianza	% Acumulado
6	0.204	3.40	100.0

El componente 1 y 2 su valor propio es mayor a 1, el % de la varianza de 1 y 2 son mayor a comparación de los demás componentes. Sin embargo, el componente 6 tiene un 100% acumulado. En la gráfica se observan 2 componentes arriba de 1.

Gráfica de Sedimentación



Análisis de Componentes Principales

Cargas de los Componentes

	Componente		Unicidad
	1	2	
X1_VE	0.790		0.342
X2_NP	-0.711		0.420
X3_FP	0.803		0.355
X4_IF		0.934	0.119
X6_IF		0.934	0.128
X7_CP	-0.762		0.385

Nota. Se utilizó la rotación 'quartimax'

Las variables con mejor carga en sus componentes son: 4 y 6

Estadísticas de los Componentes

Resumen

Componente	SC Cargas	% de la Varianza	% Acumulado
1	2.36	39.4	39.4
2	1.89	31.5	70.9

Al parecer no existe correlación

Correlaciones Entre Componentes

	1	2
1	—	0.00
2		—

Comprobaciones de Supuestos

Prueba de Esfericidad de Bartlett

χ^2	gl	p
206	15	< .001

Los supuestos se cumplen por su p-valor de < 0.001

Las comprobaciones de los supuestos en las variables X1_VE, X2_NP, X3_FP, Y X7_CP se encuentran arriba de 0.5, mientras que X4_IF y X6_IF su MSA se encuentran en 0.5

Medida de Idoneidad del Muestreo KMO

	MSA
Global	0.665
X1_VE	0.721
X2_NP	0.788

Medida de Idoneidad del Muestreo KMO

MSA	
X3_FP	0.748
X4_IF	0.542
X6_IF	0.532
X7_CP	0.779

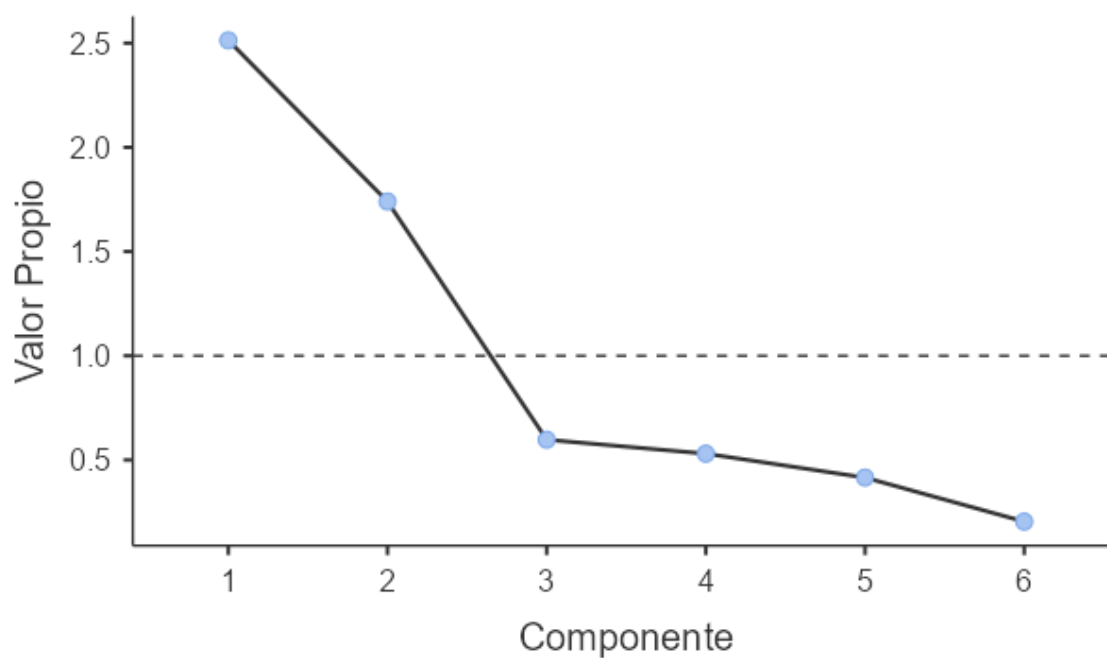
Valores Propios

Valores Propios Iniciales

Componente	Valor Propio	% de la Varianza	% Acumulado
1	2.513	41.89	41.9
2	1.740	29.00	70.9
3	0.597	9.95	80.8
4	0.530	8.84	89.7
5	0.415	6.92	96.6
6	0.204	3.40	100.0

El componente 1 y 2 su valor propio es mayor a 1, el % de la varianza de 1 y 2 son mayor a comparación de los demás componentes. Sin embargo, el componente 6 tiene un 100% acumulado. En la gráfica se observan 2 componentes arriba de 1.

Gráfica de Sedimentación



Análisis de Componentes Principales

Cargas de los Componentes

	Componente		Unicidad
	1	2	
X1_VE	0.813		0.342
X2_NP	-0.696		0.420
X3_FP	0.810		0.355
X4_IF		0.936	0.119
X6_IF		0.942	0.128
X7_CP	-0.754		0.385

Nota. Se utilizó la rotación 'promax'

Las variables con mejor carga en sus componentes son: 4 y 6

Estadísticas de los Componentes

El componente 2 tiene un acumulado de 70.9 %

Resumen

Componente	SC Cargas	% de la Varianza	% Acumulado
1	2.37	39.4	39.4
2	1.89	31.4	70.9

Correlaciones Entre Componentes

	1	2
1	—	-0.162
2		—

El componente 2 tiene una correlación negativa

Comprobaciones de Supuestos

Prueba de Esfericidad de Bartlett

χ^2	gl	p
206	15	< .001

Los supuestos se cumplen por su p-valor de < 0.001

Medida de Idoneidad del Muestreo KMO

MSA	
Global	0.665
X1_VE	0.721
X2_NP	0.788
X3_FP	0.748
X4_IF	0.542
X6_IF	0.532
X7_CP	0.779

Los supuestos se cumplen, las variables con mejor MSA son X4_IF Y X6_IF

Valores Propios

Valores Propios Iniciales

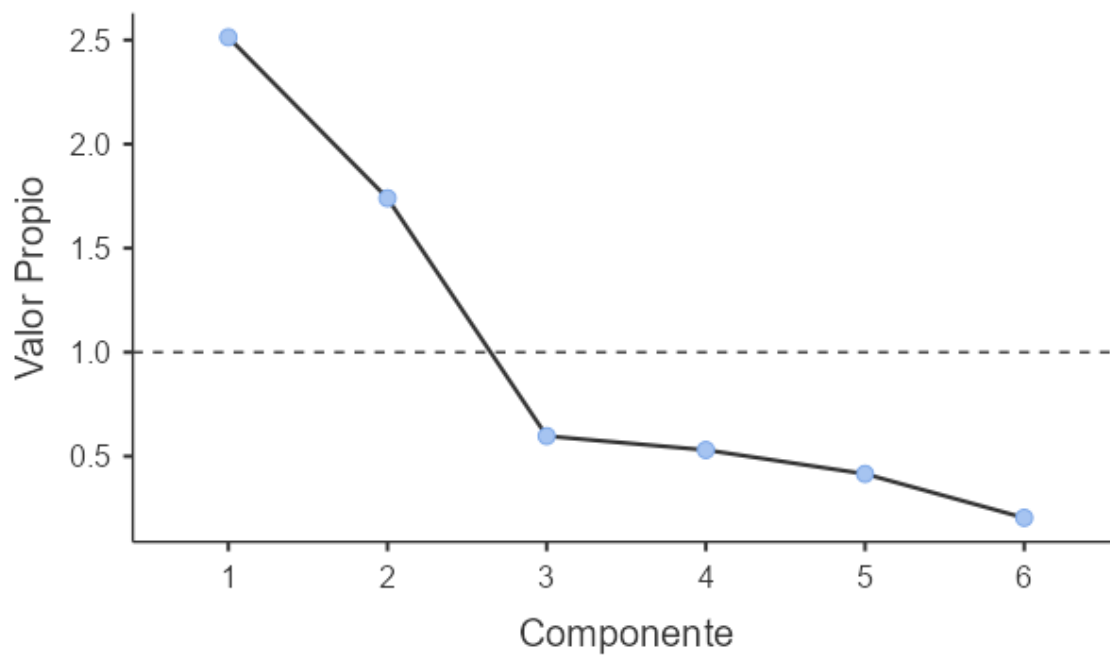
Componente	Valor Propio	% de la Varianza	% Acumulado
1	2.513	41.89	41.9
2	1.740	29.00	70.9
3	0.597	9.95	80.8
4	0.530	8.84	89.7
5	0.415	6.92	96.6
6	0.204	3.40	100.0

Valores Propios Iniciales

Componente	Valor Propio	% de la Varianza	% Acumulado
------------	--------------	------------------	-------------

El componente 1 y 2 su valor propio es mayor a 1, el % de la varianza de 1 y 2 son mayor a comparación de los demás componentes. Sin embargo, el componente 6 tiene un 100% acumulado. En la gráfica se observan 2 componentes arriba de 1

Gráfica de Sedimentación



Análisis de Componentes Principales

Cargas de los Componentes

	Componente		Unicidad
	1	2	
X1_VE	0.803		0.342
X2_NP	-0.700		0.420
X3_FP	0.806		0.355
X4_IF		0.933	0.119
X6_IF		0.937	0.128
X7_CP	-0.755		0.385

Nota. Se utilizó la rotación 'oblimin'

Las variables con mejor carga en sus componentes son: 4 y 6

Estadísticas de los Componentes

Resumen

Componente	SC Cargas	% de la Varianza	% Acumulado
1	2.37	39.4	39.4
2	1.89	31.4	70.9

El componente 2 tiene un acumulado de 70.9 %

Correlaciones Entre Componentes

	1	2
1	—	-0.109
2		—

El componente 2 tiene una correlación negativa

Comprobaciones de Supuestos

Prueba de Esfericidad de Bartlett

χ^2	gl	p
206	15	< .001

Los supuestos se cumplen por su p-valor de < 0.001

Medida de Idoneidad del Muestreo KMO

	MSA
Global	0.665
X1_VE	0.721
X2_NP	0.788
X3_FP	0.748
X4_IF	0.542

Medida de Idoneidad del Muestreo KMO

MSA	
X6_IF	0.532
X7_CP	0.779

Los supuestos se cumplen, las variables con mejor MSA son X4_IF Y X6_IF

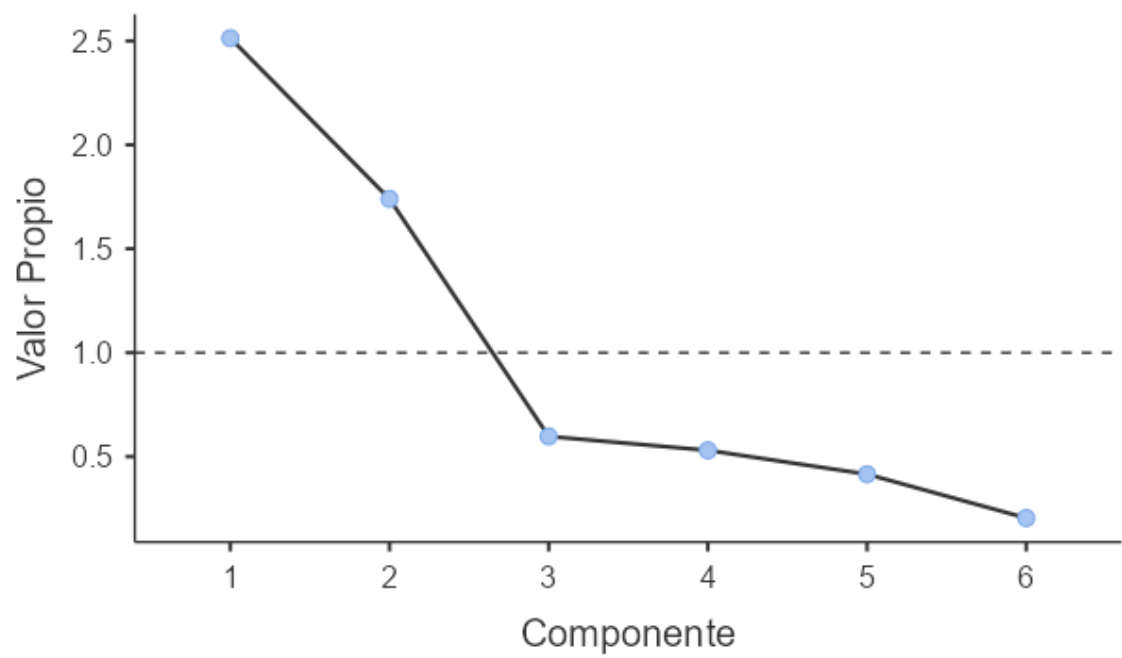
Valores Propios

Valores Propios Iniciales

Componente	Valor Propio	% de la Varianza	% Acumulado
1	2.513	41.89	41.9
2	1.740	29.00	70.9
3	0.597	9.95	80.8
4	0.530	8.84	89.7
5	0.415	6.92	96.6
6	0.204	3.40	100.0

El componente 1 y 2 su valor propio es mayor a 1, el % de la varianza de 1 y 2 son mayor a comparación de los demás componentes. Sin embargo, el componente 6 tiene un 100% acumulado. En la gráfica se observan 2 componentes arriba de 1

Gráfica de Sedimentación



Análisis de Componentes Principales

Cargas de los Componentes

	Componente		Unicidad
	1	2	
X1_VE	0.805		0.342
X2_NP	-0.703		0.420
X3_FP	0.808		0.355
X4_IF		0.931	0.119
X6_IF		0.937	0.128
X7_CP	-0.759		0.385

Nota. Se utilizó la rotación 'simplimax'

Las variables con mejor carga en sus componentes son: 4 y 6

Estadísticas de los Componentes

Resumen

Componente	SC Cargas	% de la Varianza	% Acumulado
1	2.38	39.6	39.6
2	1.88	31.3	70.9

El componente 2 tiene un acumulado de 70.9 %

Correlaciones Entre Componentes

	1	2
1	—	-0.132
2		—

El componente 2 tiene una correlación negativa

Comprobaciones de Supuestos

Prueba de Esfericidad de Bartlett

χ^2	gl	p
206	15	< .001

Los supuestos se cumplen por su p-valor de < 0.001

Medida de Idoneidad del Muestreo KMO

MSA	
Global	0.665
X1_VE	0.721
X2_NP	0.788
X3_FP	0.748
X4_IF	0.542
X6_IF	0.532
X7_CP	0.779

Los supuestos se cumplen, las variables con mejor MSA son X4_IF Y X6_IF

Valores Propios

Valores Propios Iniciales

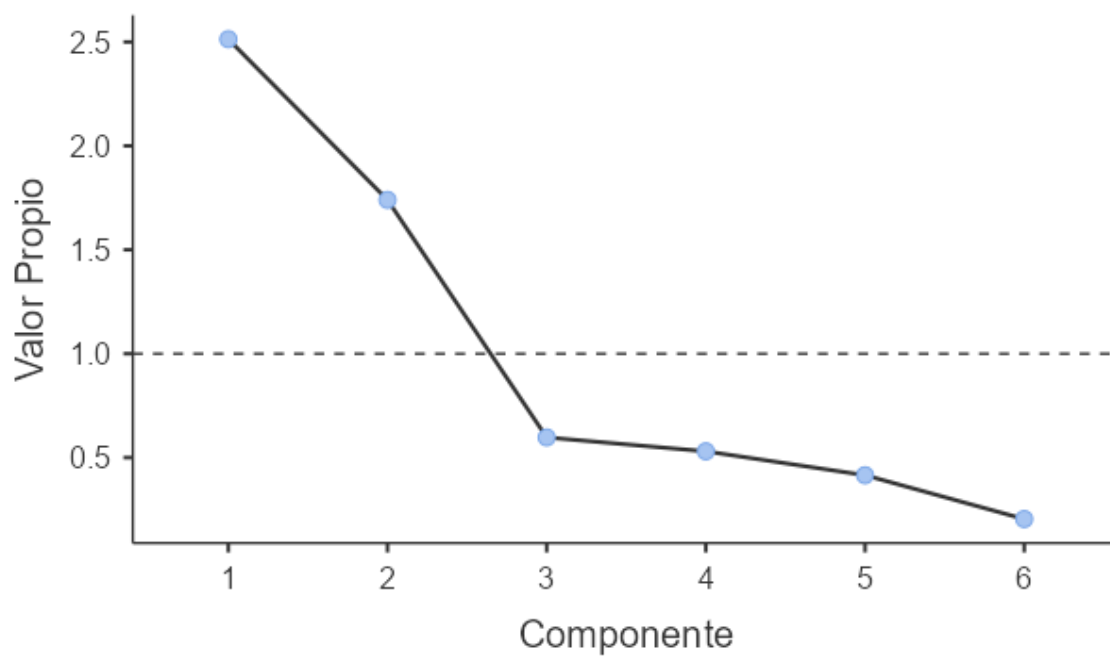
Componente	Valor Propio	% de la Varianza	% Acumulado
1	2.513	41.89	41.9
2	1.740	29.00	70.9
3	0.597	9.95	80.8
4	0.530	8.84	89.7
5	0.415	6.92	96.6

Valores Propios Iniciales

Componente	Valor Propio	% de la Varianza	% Acumulado
6	0.204	3.40	100.0

El componente 1 y 2 su valor propio es mayor a 1, el % de la varianza de 1 y 2 son mayor a comparación de los demás componentes. Sin embargo, el componente 6 tiene un 100% acumulado. En la gráfica se observan 2 componentes arriba de 1

Gráfica de Sedimentación



Observamos que la variable 4 y 6 tienen mejor correlación en las rotaciones excepto a la rotación “ninguna”.